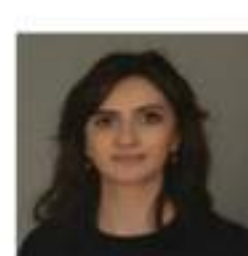


# KAYA-BETON ARAYÜZÜN MEKANİK DAVRANIŞLARI

## Mechanical Behaviours of Rock-Concrete Interfaces



VAN YÜZÜNCÜ YIL  
ÜNİVERSİTESİ



Levent SELÇUK ve Derya AŞMA

Van Yüzüncü Yıl Üniversitesi, jeoloji Mühendisliği Bölümü, Zeve Kampüsü, Tuşba Van



E-mail: Iselcuk@yyu.edu.tr

### ÖZET/ABSTRACT

Kaya ve beton ikili malzemelerin mukavemet ve yenilme davranışları üzerine yapılan deneyler ve ölçümler beton yapı-kaya temelinin tepkisini doğru bir şekilde anlamak için önemlidir. Bu bağlamda kaya-beton arayüzündeki etkileşimi belirlemek için çok sayıda deneyel araştırma yapılmıştır. Ancak eğimli bir arayüzün dayanım ve kırılma davranışları üzerindeki etkisi yeterli düzeyde çalışmalarla ele alınmamıştır. Bu araştırmaların temel amacı farklı eğim açılarında kaya beton arayüzünün tepkisini deneyel olarak incelemektir. Eğimli arayüzün kaya-beton ikili malzemelerin dayanım ve kırılma davranışına etkisi tek eksenli sıkışma, yarma gerilmesi ve nokta yük altında incelenmiştir.

Experimental observations and measurements on strength and failure behavior of rock-concrete bi materials are important to correctly understand the response of concrete structure-rock foundation. In this context, a large number of experimental investigations have been carried out in order to identify the interaction at rock-concrete interface, but the influence of inclined interface on strength and failure behavior has not been addressed by adequate experimental studies. The main objective of this investigation is to experimentally investigate the response of the rock-concrete interface at different inclination angles. The effect of inclined interface on strength and failure behavior of rock-concrete bi specimens were investigated under uniaxial compression (UCS), splitting tensile (ST) and point loading (PLS).

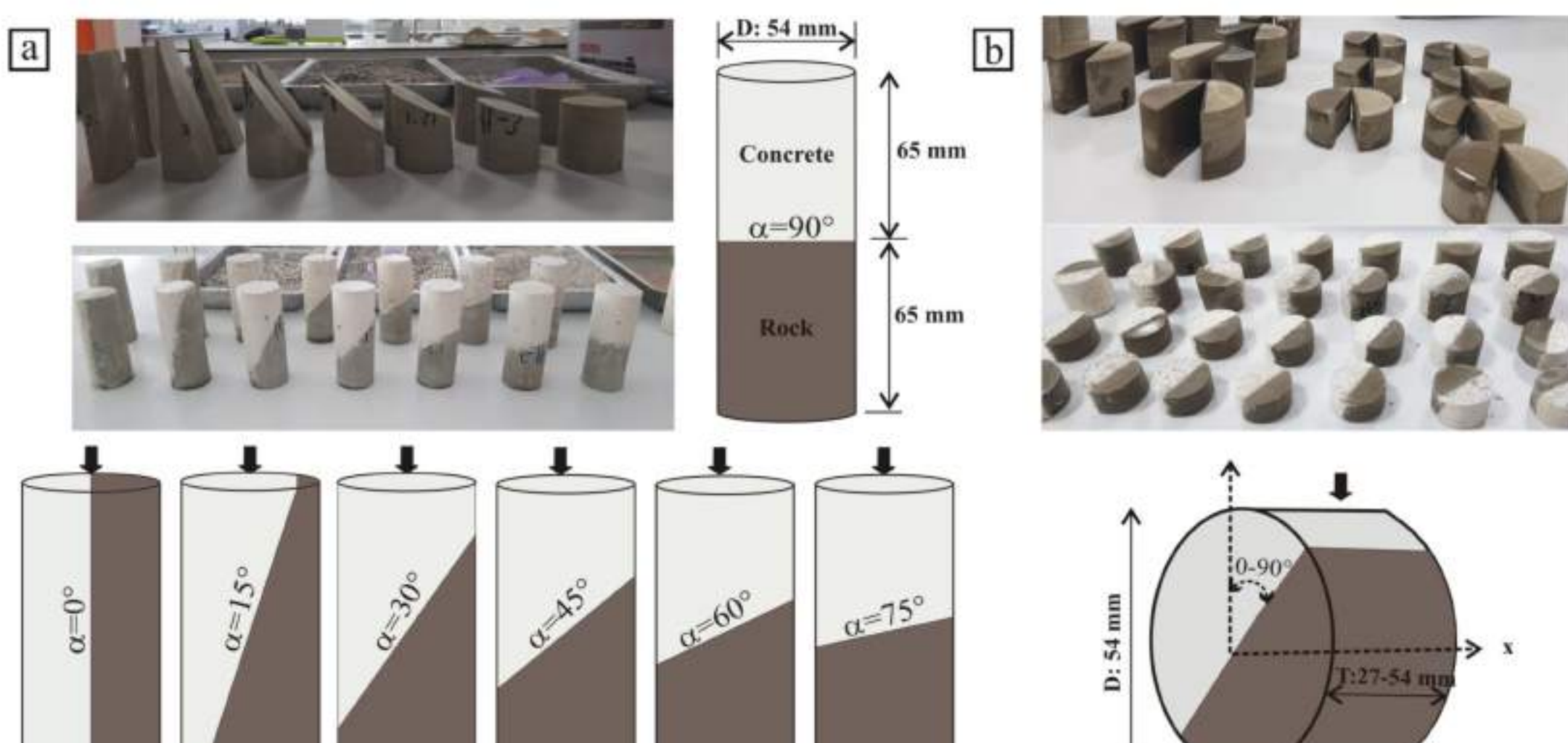
### GİRİŞ

Kaya-beton arayüzündeki gerilme durumu ve büyülüklüğü, kaya temeli üzerine inşa edilen beton yapılarının yenilme ve kırılma davranışında anahtar rol oynar (Fishman, 2008). Geleneksel olarak, beton yapılar için üç ana potansiyel yenilme mekanizması karakterize edilmiştir; baraj gövdesinin çatlamasına neden olan aşırı gerilme, barajdaki çatlak yüzey boyunca veya baraj ile temel arasındaki arayüzde veya temel içindeki herhangi bir zayıflık düzleminde kayma ve akış aşağı yönde dönme ile birlikte kayma yenilmesi (Ghanaat 2004). Kayma yenilmesi ancak temas yüzeyleri çok düşük kayma direncine sahip olduğunda mümkünür, ancak gerçek yapılar ölçüngide baraj temelinin önemli yüzey pürüzlülüğü, gerçek kayma direnci değerlerinin deneyel değerlerden daha büyük olduğunu gösterir. Bu, daha düşük bir kayma yenilmesi olasılığını gösterir.

Kapsamlı literatür taraması, deneyel ve sayısal araştırmaların; kayma davranışları (Johnston ve Lam 1989), arayüz sürtünmesi ve enerji salının hızı (Sujatha ve Kishen 2003), kırılma tokluğu (Tao vd. 2004), kırılma mekanizması ve özellikler (Dong vd. 2016), kaya-beton arayüzindeki etkileşimi tanımlamak için iyi bir şekilde belgelenmiştir. Hemen hemen tüm bu deneyel çalışmalar, esas olarak, arayüz pürüzlüğünün kırılma mekanizması üzerindeki rolünü belirtmiştir, ancak arayüzün etkisi ve onun eğimi, kırılma mukavemeti üzerinde göz ardı edilmiştir ya da sadece dolaylı test koşulları için incelemiştir.

Kaya-beton arayüzü hem sıkıştırma hem de kesme gerilmelerinin büyülüklüklerinden etkilenir. Standart basınç testlerinde olduğu gibi (yani bir sıkıştırma ve doğrudan kesme testleri), arayüz yüksek normal gerilimlere maruz kaldığında kesme mukavemeti yüksek olacaktır. Sıkıştırma gelince, kaya-beton arayüzü belli bir açıda (yaklaşık olarak 30 ile 40 derece arasında) ana asal gerilmenin yönü eğimli olduğunda dayanım değeri önemli ölçüde etkilenecektir. Bu nedenle, kaya-beton arayüzeyinin dayanım ve kırılma davranışı, hem arayüzey eğim açısı hem de uygulanan yüklerin büyülüklüğü ile ilişkilidir.

Bu deneyel araştırmaların temel amacı, farklı arayüz eğim açıları için kaya-beton numunelerinin dayanım ve yenilme davranışını değerlendirmektir. Arayüz eğim açılarının 0 ile 90 derece arasında değiştiği çekirdek ve disk şeklindeki kaya beton numunelerinde doğrudan ve dolaylı testler (yani tek eksenli sıkıştırma (UCS), yarma gerilmesi (ST) ve nokta yük mukavemeti indeksi (PLS)) gerçekleştirilmiştir. Kaya-beton malzemelerin mekanik davranışını anlamak için dayanım değerleri ve yenilme modelleri karşılık gelen arayüz eğim açısı ile birlikte gösterilmiştir ve kategorize edilmiştir. Kaya-beton malzemelerin mekanik performanslarını araştırmak için dolaylı yöntemlerin sınırlamaları ve kabiliyetleri de tartışılmıştır.



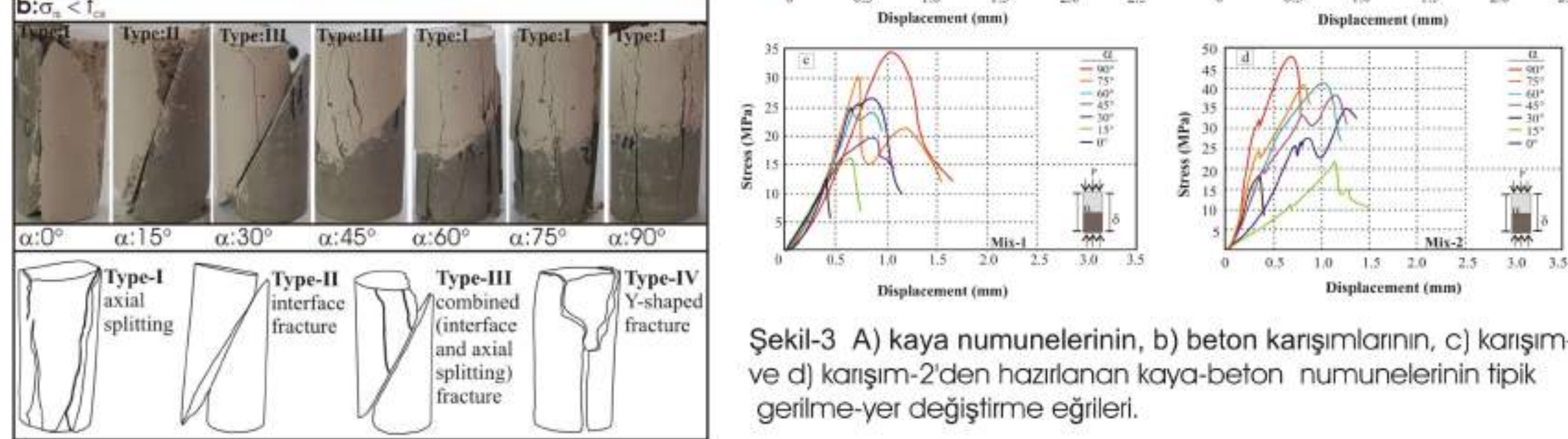
ŞEKİL - 1 a) UCS testi için hazırlanan, 0 ile 90° arasında arayüz eğim açılarına sahip çekirdek şeklinde kaya beton numuneleri. b) ST ve PLS testleri için disk şeklinde kaya beton numuneleri.

### DENEYSEL ÇALIŞMALAR

Arayüz eğim açısının ( $\alpha$ ) dayanım ve kırılma üzerindeki etkisi kaya-beton bi numunelerinin davranışını tek eksenli sıkıştırma (UCS), yarıılma gerilmesi (ST) ve nokta yük dayanımı indeksi (PLS) test koşulları altında incelenmiştir (Şekil-1). Kaya-beton arayüzeyinin eğim açılarına göre dayanım ve göçme davranışının değişimi genel olarak tüm deneylerde gözlemlendi. Ek olarak, kırılma modelleri ve dayanım veri setleri, her iki beton karışımı serisi için benzer eğilimleri takip

### Basınç gerilmesi altında dayanım ve kırılma davranışı

UCS testleri sırasında dört farklı kırılma modeli gözlemlendi; eksenel yarıılma (Tip-I), arayüz (Tip-II), birleşik (arayüz ve eksenel ayrılma, Tip-III) ve Y-şekilli (Tip-IV) kırıklar (Şekil 2). Beton parçasının dayanım değerinin kaya numunesine göre daha düşük olması durumunda, bekleniği gibi çatlaklar çoğunlukla sadece beton kısmında meydana gelmiştir. Bu tipik kırılma modelleri Şekil 2'de şematik olarak temsil edilmektedir. Kesme kaynaklı kırılma türleri (yani tip II ve tip III) çoğunlukla zayıf arayüz boyunca 15 ve 45 derece arasındaki eğim açılarında gözlemlenmiştir. Arayüzey eğim açısı ( $\alpha$ ) 60 derecede çıktıığında bu kırılma tipleri gözlemlenmemiştir ve numuneler eksenel yarıılma ile yenilmeye başlamıştır. Burada 0 ve 90 derece eğim açılarına sahip numunelerin her ikisinin de yükleme yönü boyunca oluşan eksenel yarıılma çatlakları nedeniyle yenilmiş olduğunu belirtmek gereklidir. Bununla birlikte, 90°'nin aksine, kırıklar ilk olarak 0°' de arayüz boyunca gelişmeye başlamıştır. Bu deneyel sonuçlar, arayüz eğim açısının tek eksenli basınç altında kaya-beton bi malzemenin kırılma davranışında önemli bir rol oynadığını göstermiştir (Şekil-3).



Şekil-3 A) kaya numunelerinin, b) beton karışımının, c) karışım-1 ve d) karışım-2'den hazırlanan kaya-beton numunelerinin tipik gerilme-yeş deşifre eğileri.

### Çekme gerilmesi altında dayanım ve kırılma davranışı

ST testleri sırasında üç farklı başarısızlık paterni gözlemlendi; arayüz (Tip-I), birleşik (kesme ve gerilme Tip-II) ve gerilme (Tip-III) kırıkları. Bu tipik kırılma modelleri Şekil 4'de gösterilmektedir. Başarısızlık modellerinin çoğunlukla farklı beton karışımlarından hazırlanan iki numune serisi için benzer olduğu bulunmuştur.

0 veya 15°'ye eşit arayüz eğim açısı durumunda, numuneler arayüz boyunca yenilmiştir. Eğim açısı 30 dereceye eşit olduğunda, birleşik (yani kesme ve çekme) kırılmalar hafifçe gözlenmeye başladı. Kombine kırık tipi ağırlıklı olarak 45 ve 60 derecede gözlenmiştir. Arayüzey eğim açısının 75 veya 90 dereceye eşit olması durumunda, numuneler çekme ile eksenel yarıılma göstermiştir. Bu sonuçlar, arayüz kırılmalarının en çok düşük arayüz eğim açılarında hakim olduğunu açıkça göstermektedir.

### Nokta yükü altında dayanım ve kırılma davranışı

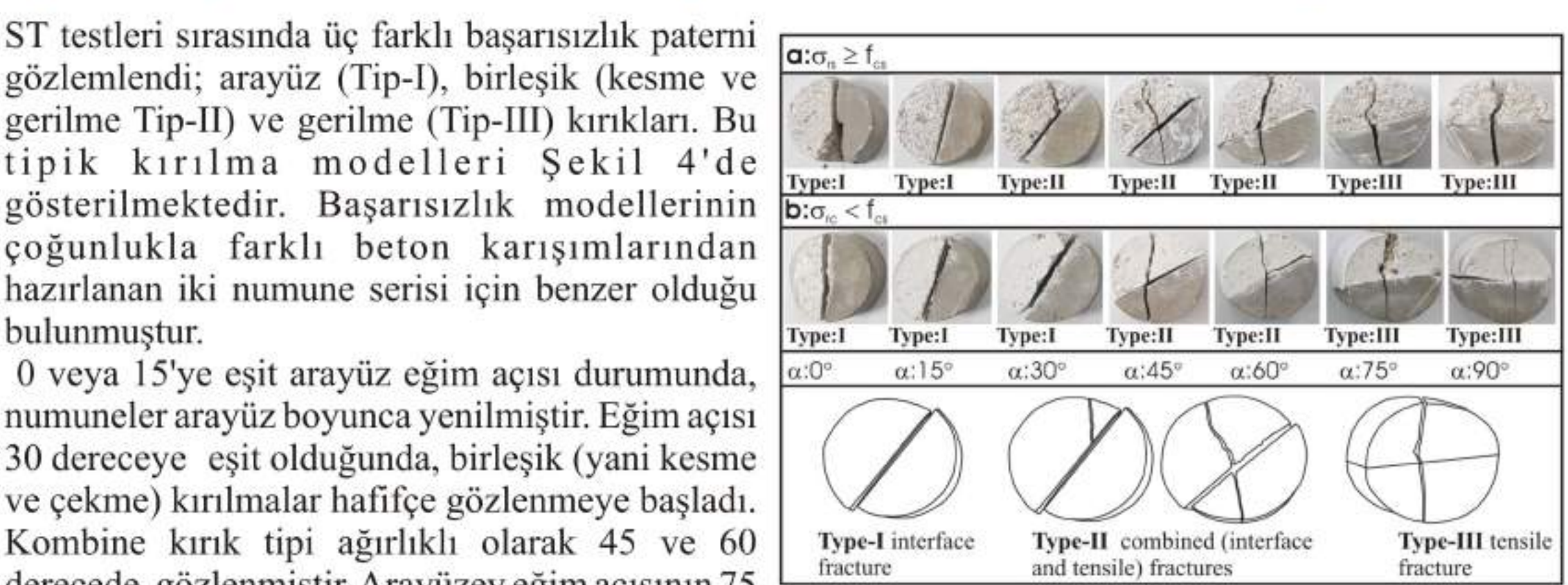
Yenilme davranışları arasındaki ilişkiyi değerlendirmek için farklı arayüz eğim açıları, disk şeklindeki kaya-beton numuneleri PLS'nin çapsal test koşullarında test edilmiştir. Numunelerin kırılma modelleri Şekil 5'de verilmiştir. Şekil 5'de gösterildiği gibi, arayüz kırılma tipi, düşük arayüz eğim açılarına (yani  $\alpha : 0 \sim 30$ ). Arayüz eğim açısı 45 dereceye'ye çıktığında, birleşik tip ve yüksek arayüz eğim açıları için baskın göçme tipi ( $\alpha : 60 \sim 90$ ) çekme tipi kırılma davranışıdır.

### SONUÇLAR

Kaya-beton numunelerinin yenilme davranışı, 0 ve 45 arasındaki eğim açılarında eksenel yarıılma zayıf arayüz boyunca arayüz boyunca kesme yeneilmesi davranışına doğru değildir. Arayüz eğim açısı 60 dereceye 'ye çıktığında, numuneler tekrar eksenel yarıılma ile başarısız olmaya başlamıştır. "U-şekilli" mukavemet değişim eğileri, eğim açısı  $\alpha$ 'ya karşı numune serilerinin tek eksenli sıkıştırma değerlerinin grafiğinin bir sonucu olarak elde edilmiştir.

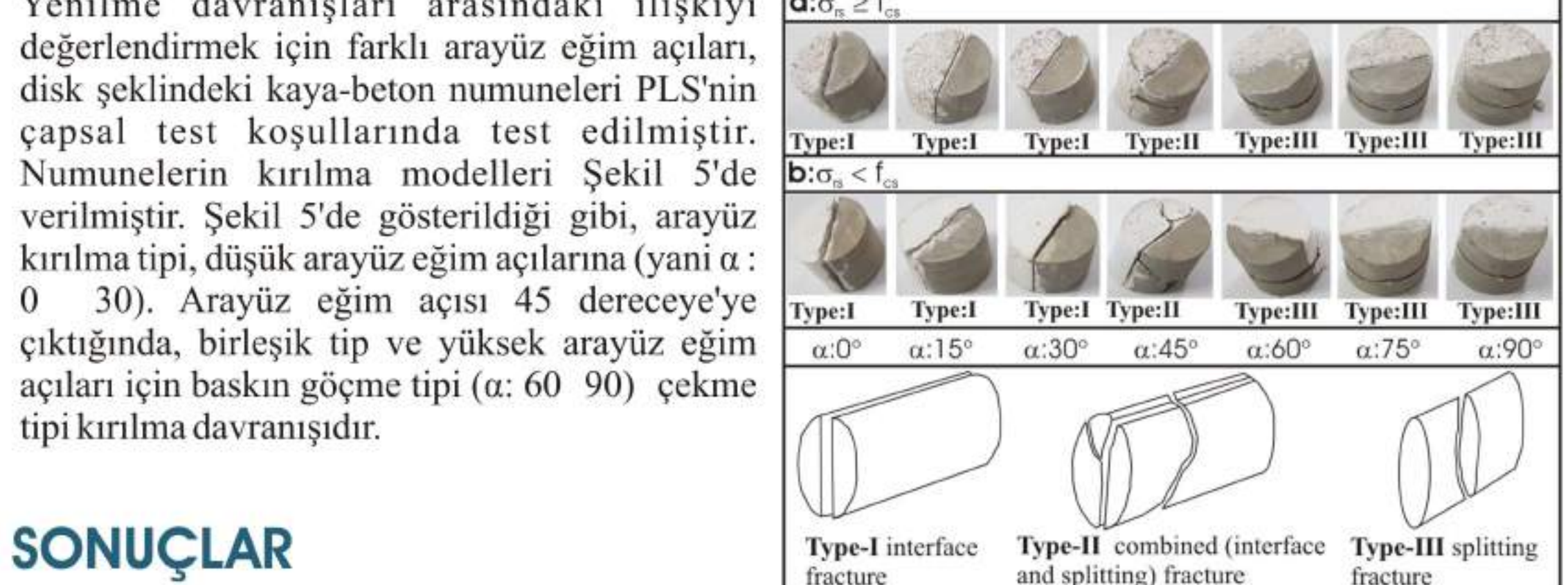
ST ve PLS testleri sırasında üç farklı başarısızlık paterni gözlemlendi; arayüz, birleşik ve eksenel yarma (veya gerilme) kırıkları. Düşük eğim açıları (0-15) için arayüz kırılma tipleri baskındır. Arayüz kırılma tipi, dikkate değer yüksek kırılma mukavemeti değerleri ile yaklaşık 30 dereceden sonra birleşik kırık tipine geçer. Örnekler, ST'de kırıklar bölünerek 75 ve 90'de eksenel bölünürken, bu kırık tipi PLS'de çoğunlukla  $\alpha = 60, 75$  ve 90'de baskındır. Eğim açısı ( $\alpha$ ) arttıkça yarıılma çekme gerilme dayanımı Iş (50) artmıştır. Kaya beton numunelerinin eğim açılarının bir fonksiyonu olarak nokta yük dayanımı ve göçme davranışını ilk kez araştırılmıştır. Iş (50) ve arayüz eğim açısı arasındaki ilişki, ST'den elde edilen sonuçlarda olduğu kadar dikkat çekici görülmektedir.

Bu çalışmanın en dikkat çekici yönlerinden biri de indirekt yöntemlerin zayıf arayüz eğim açısı yükleme eksenine paralel olmaya başladığında numunelerin arayüz dayanımının belirlenmesinde yetersiz sonuçlar vermesidir.

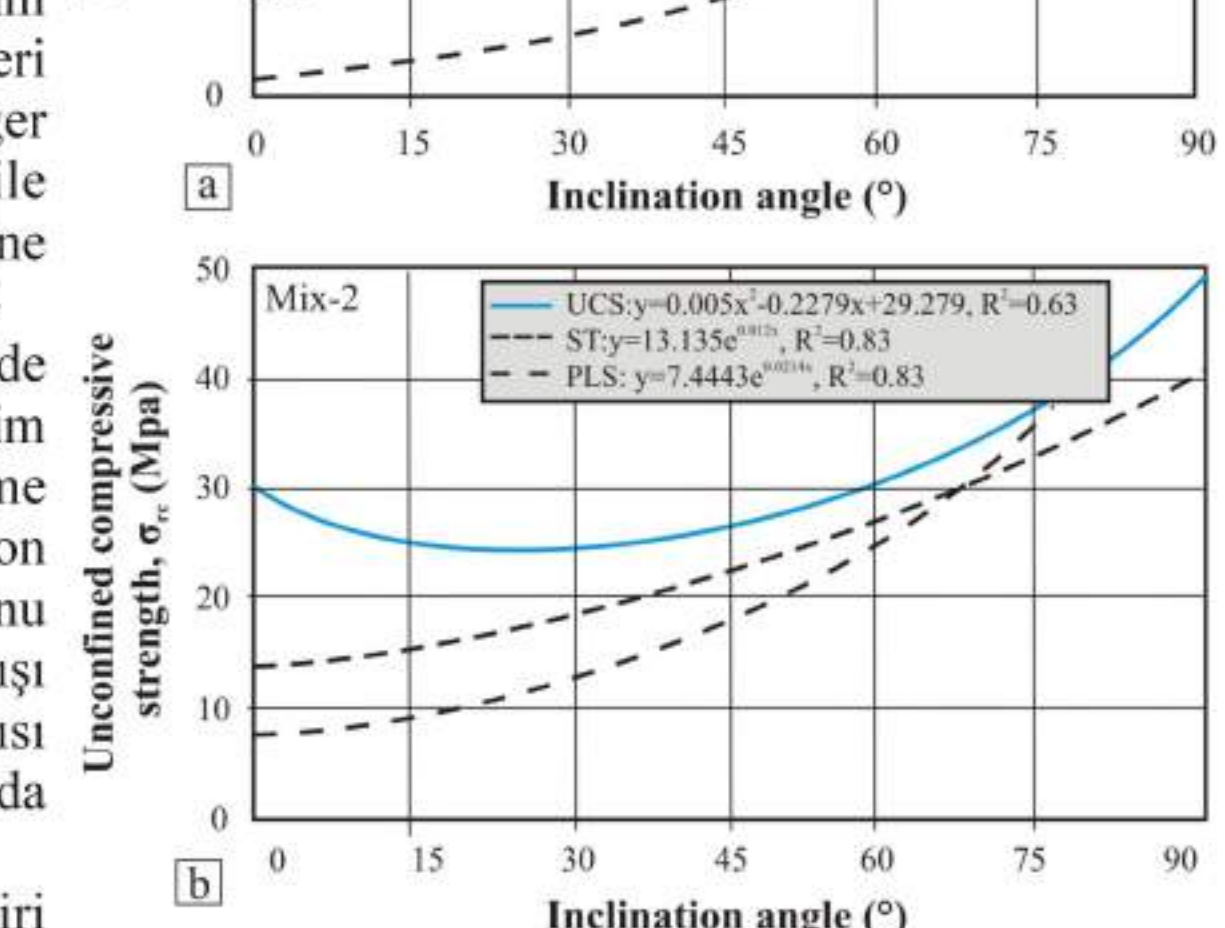
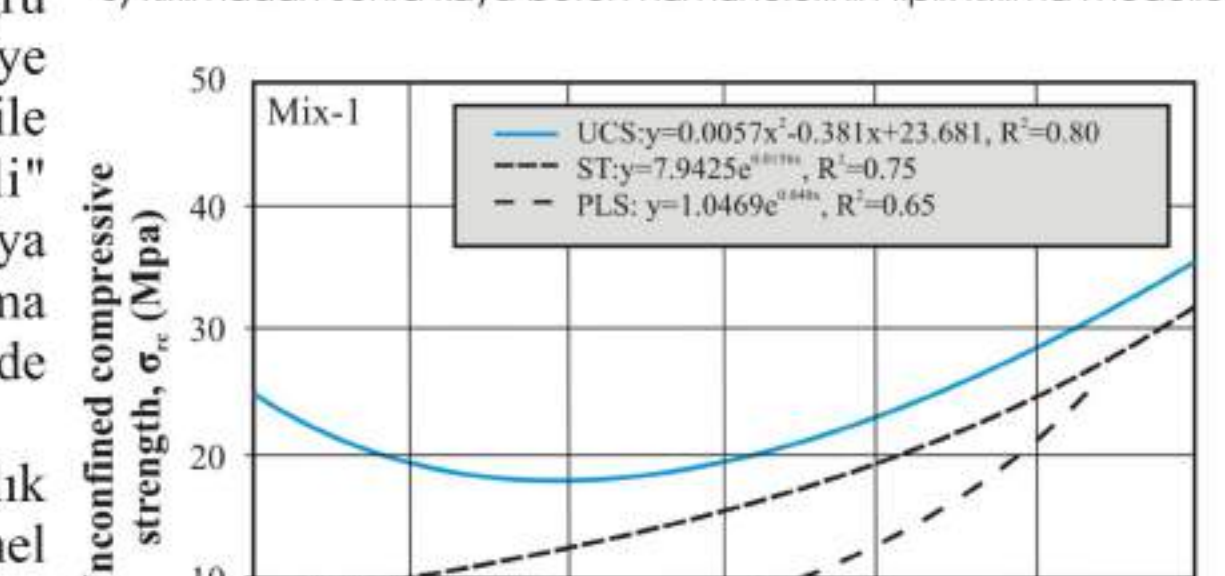


Şekil 4 Yarma-çekme testlerinde yenilme sonrası örnekler; a) kaya dayanımının beton dayanımına eşit ve ondan büyük, b) beton dayanımından daha düşük, c) kırılmadan sonra kaya beton numunelerinin tipik kırılma modelleri.

### Nokta yükü altında dayanım ve kırılma davranışı



Şekil 5 Nokta yükü testlerinde yenilme sonrası örnekler; a) kaya dayanımının beton dayanımına eşit ve ondan büyük, b) beton dayanımından daha düşük, c) kırılmadan sonra kaya beton numunelerinin tipik kırılma modelleri.



Şekil 6 Gözlemlenen UCS ile ST ve PLS testlerinden öngörülen UCS arasındaki karşılaştırma.